

## Bükümlü Nematik Sıvı Kristal Bir Filmin Optik Tepkisi

Sinem ERDEN GÜLEBAĞLAN<sup>1</sup>, Rıdvan KARAPINAR<sup>2</sup>

<sup>1</sup>Dokuz Eylül Üniversitesi, Fen-Edebiyat Fakültesi, Fizik Bölümü, 35100 İzmir

<sup>2</sup>Yüzüncü Yıl Üniversitesi, Fen-Edebiyat Fakültesi, Fizik Bölümü, 65080 Van

**Özet:** Bükümlü nematic sıvı kristaller taşınabilir ve düz ekran göstergelerde yaygın olarak kullanılmaktadır. Bu çalışmada sürtme yöntemi ile elde edilen bükümlü nematic sıvı kristal bir filmin yapımı ve bu filmin uygulanan bir elektrik alanındaki optik tepkisi deneyesel olarak incelenmiştir. Bükümlü nematic sıvı kristal madde için (E7) yüzey bağlanma enerjisi hesaplanmıştır. Kullanılan nematic sıvı kristal bileşigin bağlanma enerjisini büyük olması ve üstün optik özellikleri nedeniyle, gösterge amaçlı elektro-optik cihazlarda kullanımının uygun olduğu gösterilmiştir.

**Anahtar kelimeler:** Bağlanma enerjisi, bükümlü nematic film, elektro-optik tepki, sürtme yöntemi.

### Optical Response of a Twisted Nematic Liquid Crystal Film

**Abstract:** Twisted nematic liquid crystals have been widely employed for portable and flat screen displays. In this work, fabrication of a twisted nematic film by rubbing method and its optical response as a function of applied electric field have been experimentally studied. Anchoring energy of the twisted nematic liquid crystal material (E7) has been calculated. It has been shown that the nematic liquid crystal used in this study is suitable for electro-optical display devices because of the its high anchoring energy and good optical performance.

**Key words:** Anchoring energy, electro-optic response, rubbing method, twisted nematic film.

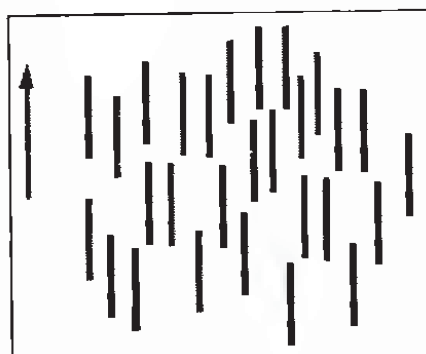
#### Giriş

Son yıllarda teknolojik açıdan önemi nedeniyle sıvı kristal göstergelere yoğun bir ilginin olduğu gözlelmektedir. Sıvı kristal maddeler düşük güç kayıpları ve istenilen boyutta düz ekranı olarak yapılabilmeleri gibi avantajları nedeniyle, elektronik aygıtlarda yaygın bir kullanım alanına sahiptir. Bu tür gösterge cihazlarında farklı elektro-optik etkilерden yararlanılmaktadır. Bunlar arasında bükümlü nematic elektro-optik olay oldukça yaygın olarak kullanılmaktadır.

Nematic sıvı kristaller, kristal yapılı katılar ile izotropik sıvılann özelliklerini aynı anda sergileyen maddelerdir. Bir nematic fazda, molekülerin düzenlenme biçimine bağlı olarak ortamın fizikal özelliklerinde anizotropik bir davranış ortaya çıkmaktadır. Bu fazda molekülerin kütü merkezleri uzaya rasgele bir dağılım gösterdiğiinden, ortamda konumsal bir düzen mevcut

değildir. Ancak molekülerin ortaklaşa olarak optik eksen olarak bilinen bir yön vektörü boyunca yönlendirme eğilimi nedeniyle, ortam içinde bir yönelimsel düzen oluşur. Böylece nematic fazı izotropik sıvılardan ayırt eden en önemli özellik, molekülerin belirli bir tercih edilen doğrultuda yönelim göstirmeleridir (Şekil 1).

Nematic fazdaki moleküler bir dipole sahiptir. Maddenin dielektrik sabiti optik eksen boyunca daha büyük bir bileşene sahip olduğundan, uygulanan elektrik alanı molekülerin dielektrik sabitinin maksimum olduğu elektrik alan doğrultusunda yönlendir. Nematic maddenin sahip olduğu anizotropik davranış nedeniyle, elektrik alan uygulanması durumunda maddeden geçen ışığın kutuplanma özelliklerini değişime uğrar. Bu durum ortamda gözlenen bükümlü elektro-optik olayın fizikal temelini oluşturur.



Şekil 1. Nematic sıvı kristal bir ortamın moleküler yapısı.

Nematisk sıvı kristal maddelerin çeşitli fiziksel özelliklerinin incelenmesi geniş bir araştırma potansiyeli oluşturmaktadır (Anisimov, 1988; Karapınar ve Gündüz 1992, Needham, 1983; MacGregor, 1988, Yaniv, 1989). Nematisk ortamda moleküllerin levha yüzeylerine paralel ve dik olarak yönelmelerini sağlamak üzere uygulanması gereken yüzey etkinlik işlemleri hakkında literatürde geniş bir bilgi edinmek olasıdır (Sato ve ark., 1972; Uchida ve ark., 1972). Genel olarak levha yüzeyleri ile moleküller arasında van der Waals, hidrojen bağları, dipo-dipol etkileri gibi fiziko-kimyasal kuvvetlerin etkili olduğu belirtilmektedir (Kahn ve ark., 1973; Creagh ve ark., 1972). Hücre yüzeylerinin aynı doğrultuda sürtme işlemeye maruz kalmaları sonucunda, bu tür yüzeylerdeki nematisk moleküllerin levha yüzeylerine paralel olacak biçimde yöneldikleri ve böylece planar bir yönelimin elde edildiği Bereman (1972) tarafından rapor edilmiştir. Creagh ve ark (1972), yüzey yönelim kuvvetlerinin etkisini göz önünde bulunduran daha farklı bir model ortaya koymuşlardır. Nematisk sıvı kristal bir ortamdaki yönelim mekanizması elektron mikroskopu ile incelenmiştir (Dixon ve Hester, 1974). Çeşitli araştırmacılar levha yüzeyleri üzerinde dik veya paralel yönelimlerin oluşumunun nematisk akışkanın yüzey gerilime etkisine ve levhanın yüzey enerjisine bağlı olabileceğini belirtmişlerdir. Son yıllarda yapılan araştırmalarda bükümlü nematisk bir göstergenin çalışma performansı ve yanıt süresi gibi parametreler inceleme konusu edilmektedir. Nematisk bir maddenin voltaja bağlı bükülme etkisi bir yüzeyi sürtme işlemi ile elde edilen planar yönelimli, diğer yüzü ise ışık etkisiyle elde edilen bir yönelim tabakasından oluşan film kullanılarak incelenmiştir (Bryan-Brown ve ark. 1998). Yine yüksek performanslı bükümlü nematisk göstergenin yapımı Guo ve Kwok (2000) tarafından gerçekleştirılmıştır. Bükümlü nematisk bir filmin farklı bükülme açılarına bağlı olarak incelemesi yapılmıştır. Geliştirilen bu tür bir göstergenin devresi  $-\pi/2$  ve  $3\pi/2$  bükülme halleri ile yine  $\pi/2$  ve  $5\pi/2$  bükülme hallerinde optik bir tepki vermektedir (Xie ve Kwork 1998). Nematisk sıvı kristal bir ortamın dielektrik sabitlerinin denyesel olarak incelenmesi Yang ve Sambles (2003) tarafından verilmektedir. Nematisk bir filmin optik modülasyonu Karapınar ve Gündüz (1994) tarafından yapılan çalışmada incelenmiştir. Bükümlü nematisk yapı ile ilgili bir çalışma Karapınar (2005) tarafından verilmiştir. Bükümlü nematisk sıvı kristal tabakalar kullanarak, görüş açısı problemini inceleyen bir çalışma Chi-Huang ve ark. (2009) tarafından verilmiştir.

Bu çalışmada, bükümlü nematisk sıvı kristal bir filmin yapımı ve bu filmin bazı optik özellikleri, yukarıda sözü edilen araştırmalar göz önünde bulundurularak çalışma konusu edilmektedir.

### **Materyal ve Yöntem**

Bu çalışmada inceleme konusu edilen madde geniş bir sıcaklık bölgesinde nematisk sıvı kristal faz gösteren bir bileşiktir. Üç alkilsyanobifenil ve bir alkilsyanoterfenilden oluşan bu bileşik için genel olarak E7 kısaltma adı kullanılmaktadır. Bu bileşığın molekül yapısı Şekil 2'de verilmektedir. E7 bileşigi için nematik-izotropik faz geçisi sıcaklığı  $T_{NI} = 62^{\circ}\text{C}$  dir. Syanobifenil ve syanoterfenil bileşikler kimyasal ve fotokimyasal kararlığa sahip olup, oda sıcaklığında nematisk faz gösterirler. Bu maddeler düşük vizkozite ve büyük pozitif dielektrik anizotropi göstermeleri nedeniyle alan-etkimi

çeşitli elektro-optik göstergelerde devrelerinde kullanılma avantajına sahiptirler.

Nematisk moleküllerin iletken kaplamalı cam levha yüzeylerine paralel yönelimini sağlayabilmek için polimer filmle kaplanmış cam levha yüzeylerine sürtme işlemi uygulanarak planar yönelimli bir ince film elde edilmesi amaçlanmıştır. Bunun için yönelme tabakası olarak işlem gören ACH72 polimeri ağırlıkça % 0.1'lik oranında su içerisinde konularak bir karışım elde edilmiştir. Bu karışım içerisinde 10 dakika süreyle bekletilen cam levhalar, yüzlerine dokunulmaksızın dışarı alınarak 120 °C sıcaklığındaki bir fırın içerisinde 30 dakika bekletilerek kurutulmuştur. Cam levhalar aynı doğrultuda sürtme işlemi uygulanarak planar yönelimli bir film elde edilmesi amaçlanmıştır. Cam levhalar arasına mylar şeritler yerleştirilerek sabit kalınlığı ( $d = 13 \mu\text{m}$ ) bir filmin oluşumu gerçekleştirilmiştir. Böylece yüzey etkinlik işlemi uygulanan cam levhaların birbirlerine yapıştırılması amacıyla sıcaklığı dayanıklı bir yapıştırıcı kullanılmıştır. Nematisk madde mylar şeritlerle sınırlanan hücre içerişine doldurulmuştur. Bu işlem sürecinde film içinde herhangi bir hava kabarcığının kalmamasına özen gösterilmiştir. Oda sıcaklığındaki nematisk sıvı kristal film, üzerinde incelemeler yapmak üzere polarize mikroskop altında incelenmiştir.

Nematisk filmin elektro-optik davranışını incelemek için kullanılan optik yöntemde, bir güç kaynağından elde edilen 0-5 V gerilimleri nematisk filme uygulanarak filmden geçen tek-renkli lazer ışığının (633 nm) şiddetini bir foto-dedektör ile ölçülmüştür.

Nematisk maddenin arasına konulduğu levha yüzeylerinin birbirlerine göre 90° bükümlesi ile elde edilen ve her bir yüzeydeki moleküllerin optik eksen boyunca yöneldikleri bükümlü nematisk yapı elde edilmiştir. Şekil 3'de görüldüğü gibi üst ve alt levhalar arasında 90°lik bir bükümle açısı olduğunda, moleküller her iki levhaya paralel biçimde yönelirler; ancak levhalar arasında bir bükümlü yapı olmaktadır. Çapraz polarizör sistemi arasındaki bükümlü nematisk yapı, üzerine gelen ışığın kutuplanma doğrultusunun tüm ortam boyunca 90° çevirmesi sonucu ortam aydınlatır görünür. Ancak bir elektrik alan uygulanması ile bu moleküller yönelim bozulur ve dik bir moleküller yönelimin ortaya çıkması sonucu bu yapıdan ışık geçisi gerçekleşmez. Böylece bükümlü nematisk film üzerine elektrik alanı uygulanarak içinden geçen ışık geçisi kontrol edilebilir. Böylece bu tür bir optik sistem, ışık şiddetine dayalı optik modulatör görevi yapmış olur.

Eğer nematisk hücre çapraz polarizör çifti arasına konulursa ortamdan ışık geçisi nedeniyle oluşan bu yapıya beyaz modlu hücre denir. Bu durumda hücrenin giriş yüzeyindeki moleküllerin yönelimi polarizörün geçirgenlik eksenine paralel, ancak çıkıştaki moleküller yönelim ise analizörün geçirgenlik eksenine paraleldir. O halde ışığın kutuplanma düzleminin bir dönme etkisine maruz kalması durumunda bükümlü nematisk filmden ışık geçisi için aşağıdaki bağıntı yazılabilir:

$$T = 1 - \frac{\sin^2\left(\frac{\pi}{2} \sqrt{1+u^2}\right)}{1+u^2}$$

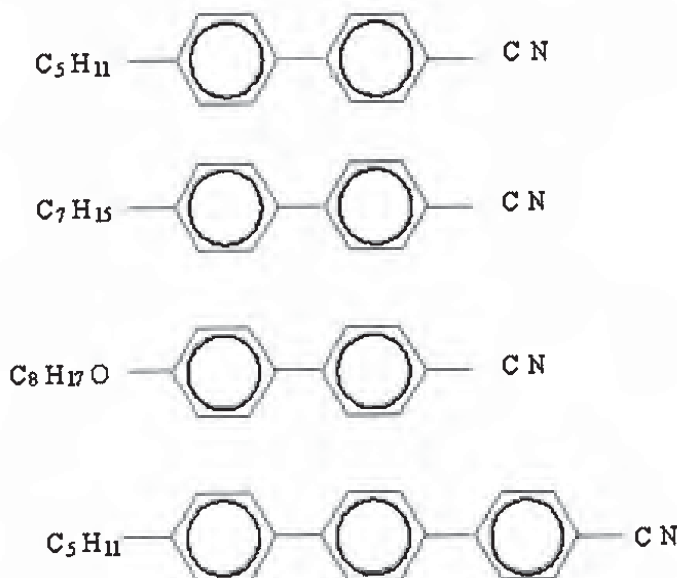
Burada  $u = 2d\Delta n/\lambda$  olup;  $d$  filmin kalınlığı,  $\lambda$  ışığın dalga boyudur.  $\Delta n$  ortamın optik anizotropisi olup E7 bileşigi için bu değer 0.2 dir. Nematisk bir filmin en önemli özelliği ışık

geçisi verimlidir. Filmin kalınlığı  $d = 13 \mu\text{m}$  olduğundan Mauguin şartı olan  $d\Delta n > \lambda$  gerçekleştirmektedir.

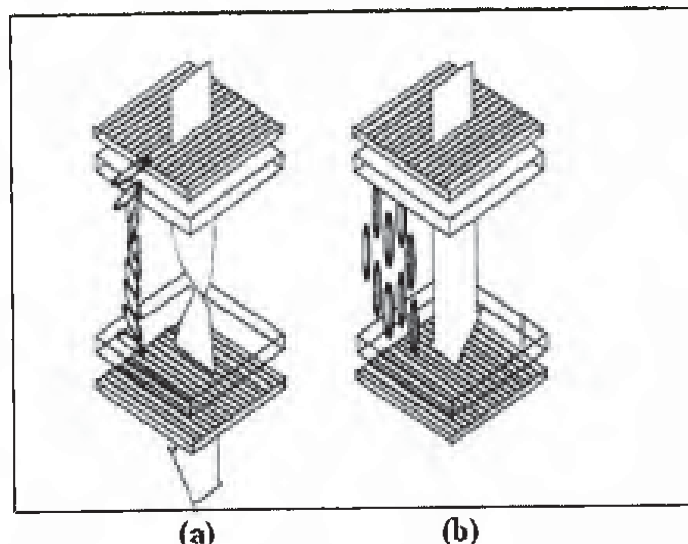
Bükümlü nematic bir filme voltaja bağlı ışık geçişinin incelenmesi görünür bölgede nematic maddenin çift kıncılığının belirlenmesine olanak verir. Bükümlü nematic filme uygulanan voltajın eşik değeri aşağıdaki ifade ile verilir. Bu bağıntıda uygulanan voltaj, ortamın esnek şekil değişimini belirleyen  $K_{ii}$  Frank esneklik

sabitlerine ve ortamın  $\epsilon$  dielektrik sabitlerine bağlıdır. Burada  $\Delta\epsilon$  nematic ortamın dielektrik anizotropisidir.

$$V_c = \pi \sqrt{\frac{K_{11} + (K_{33} - 2K_{22})/4}{\epsilon_0 \Delta\epsilon}}$$



Şekil 2. E7 bileşığının molekül yapısı.

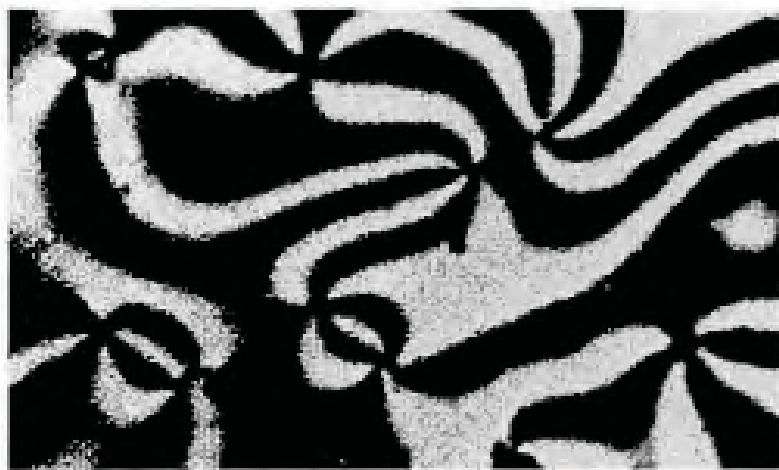


Şekil 3. Bükümlü nematic bir filmin çalışma ilkesi. (a)  $V = 0$ , (b)  $V \neq 0$ .

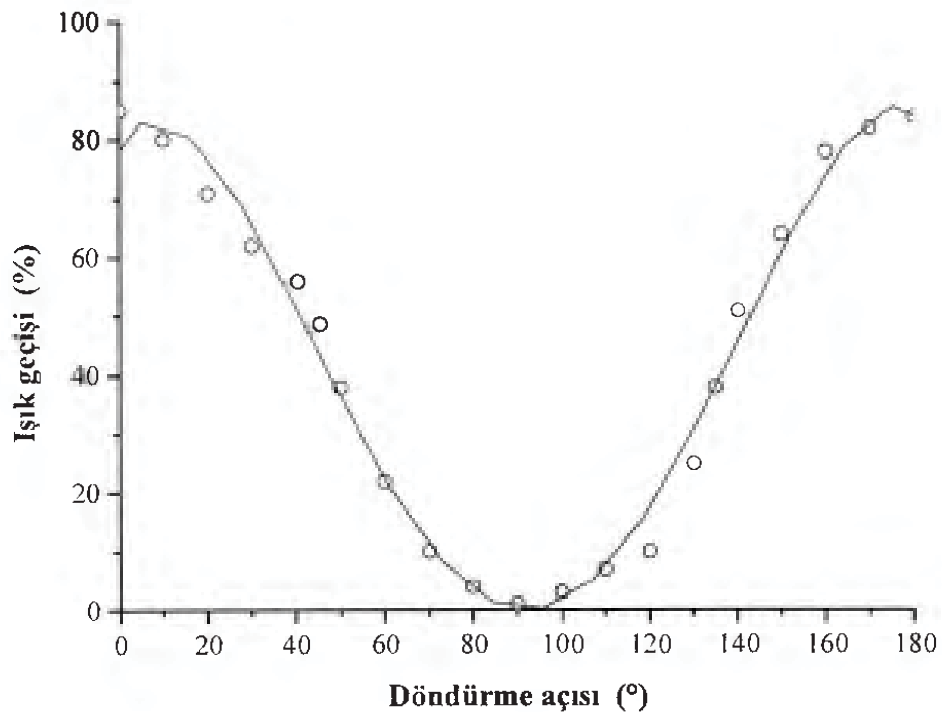
#### Bulgular ve Tartışma

Bu çalışmada, bükümlü nematic ince filmlerin yapımı ve optik özellikleri inceleme konusu edilmiştir. Nematic faz gösteren maddenin polarize mikroskop altında gösterdiği desene ait bir fotoğraf Şekil 4'de gösterilmektedir. Sürme yöntemi uygulanarak elde edilen nematic filmlerin yönelim durumunun kontrolü polarize mikroskop altında incelenmiştir. Filmin elektrik alan etkimesli ışık geçirgenliği, bükümlü nematic filmin elektrik

alan etkisinde ortamdan geçen tek-renkli çizgisel kutuplanmış ışığın analiz edilmesi ile incelenmiştir. Bükümlü nematic filmdeki yönelim durumunu izlemek üzere, çapraz polarizörler arasında konularak döndürülen filmden geçen ışık şiddetinde, her 90°lik döndürmeye karşılık maksimum ve minimum değerler gözlenmiştir. Bükümlü nematic filmden geçen ışık şiddetinin dönme açısına bağlılığı Şekil 5'de gösterilmektedir.



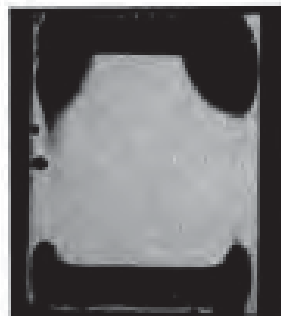
Şekil 4. Nematik filmdeki Schlieren yapısına ait fotoğraf.



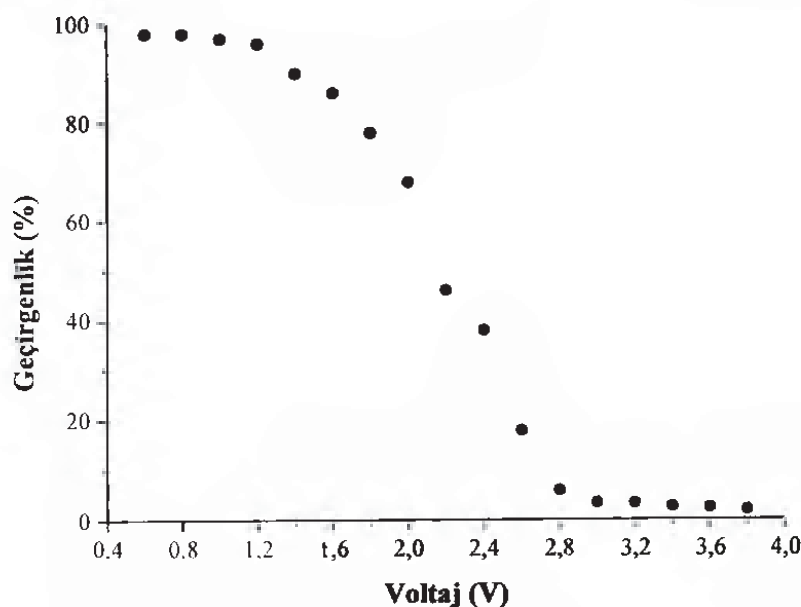
Şekil 5. Çapraz polarizörler arasındaki bükümlü nematic filmin ışık geçirgenliği.

Deneyde yapılan gözlemler, filmlerde bükümlü nematic yapının ortaya çıktığını göstermektedir. Filme uygulanan sürme işlemi doğrultusu polarizörlerden birisinin geçirgenlik ekseni boyunca seçildiğinde ortamda ışık geçisi maksimum olmaktadır. Bu durum filmdeki optik eksen doğrultusunun, yani yönelim doğrultusunun sürme işlemi doğrultusu boyunca ortaya

çıktığını belirtmektedir. Bu durumda çapraz polarizör sistemi arasında konulan bükümlü nematic film aydınlatma gözükmektedir (Şekil 6). Uygulanan bir dış elektrik alanının etkisini gözlemek amacıyla yapılan incelemede, bükümlü nematic filme uygulanan voltajın fonksiyonu olarak ışık şiddetinde gözlenen değişim Şekil 7'de gösterilmektedir.



Şekil 6. Çapraz polarizörler arasında bükümlü nematic bir film makroskopik fotoğrafı.



Şekil 7. Bükümlü nematic filmde voltaja bağlı ışık geçisi.

Bu deneysel çalışmada kullanılan nematic E7 bileşiği için tipik fiziksel sabitler  $K_{11} = 9.2 \times 10^{-12}$  N,  $K_{22} = 7.1 \times 10^{-12}$  N,  $K_{33} = 16.2 \times 10^{-12}$  N ve  $\Delta\epsilon = 13.8$  kullanılarak eşik voltajı için  $V_c = 0.88$  V teorik değeri elde edilmiştir. Ancak yapılan çalışmada deneySEL olaraK  $V_c = 1.4$  V degeri bulunmuştur. Elde edilen sonuçlardan görüldüğü gibi, bükümlü nematic film çok küçük çalışma voltajlarında elektro-optik tepki göstermektedirler. Bu düşük çalışma voltajı çok az güç harcamasına neden olduğundan ( $\sim 1 \mu\text{W/cm}^2$ ), bu tür maddelerin gösterge devrelerinde kullanımı yaygındır.

Nematic bir maddenin bir yüzey üzerindeki bağlanma enerjisinin ölçülmesi fiziksel açıdan oldukça önemlidir. Elektro-optik gösterge devrelerinin verimi, yüzeye nematic madde arasındaki etkileşime bağlıdır. Bağlanma enerjisi ne kadar büyük olursa, maddenin bir dış alandaki elektro-optik tepkisi daha da kararlı olur.

Bükümlü nematic bir filmdeki bükülmeye açısı ölçülecek W bağlanma enerjisi hesaplanabilir. Film levhalarından birisindeki sùrtme doğrultusu, çapraz polarizörlerden birisine paralel olacak biçimde seçilerek, analizörün döndürülmesi ile bükülmeye açısı tayin edilir. Bağlanma enerjisinin bu yaklaşımla belirlenmesi

yöntemi Bryan-Brown ve Sage (1996) tarafından kullanılmıştır. Bükümlü nematic filmdeki moleküllerin sùrtme işlemi uygulanmış polimer yüzeyindeki bağlanma enerjisi aşağıdaki bağıntı ile verilir:

$$W = \frac{2K_{22}\phi}{d \sin 2\phi}$$

Burada d filmin kalınlığı,  $K_{22}$  Frank bükülmeye esneklik sabiti ve  $\phi$  bükülmeye açısıdır. Deneyde nematic E7 bileşiği için yapılan incelemede  $K_{22} = 7.1 \times 10^{-12}$  N değeri alınarak ve bükülmeye açısının ölçülen  $\phi = 87^\circ$  değeri kullanılarak bağlanma enerjisi için  $W = 1.6 \times 10^{-5}$  J/m<sup>2</sup> değeri bulunmuştur. Bu değer MBBA gibi klasik nematic maddelerin  $\sim 10^{-6}$  J/m<sup>2</sup> değerinden büyüktür. Sonuç olarak E7 nematic bileşinin başlıca optik özelliklerinin yanı sıra bağlanma enerjisinin de büyük olması nedeniyle, bükümlü nematic göstergelerde kullanımının uygun olduğu görülmektedir.

**Kaynaklar**

- Anisimov, M.A., 1988. Critical phenomena in liquid crystals. *Mol.Cryst.Liq.Cryst.*, **162**: 1-93.
- Berreman, D.W., 1972. Solid surface shape and the alignment of an adjacent nematic liquid crystal. *Phys. Rev. Lett.*, **28**: 1683-1686.
- Bryan-Brown, G.P., Brown, C.V., Sage, I.C., Hui, V.C., 1998. Voltage-dependent anchoring of a nematic liquid crystal on a grating surface. *Nature*, **392**: 365-367.
- Chi-Huang L., Ru-Hsien C., Ming-Li H., Chia-Wei C., Chie-Tong K., 2009. Viewing angle switching panels using large optically anisotropic behaviours of twisted-nematic liquid-crystal layers. *J. Phys. D: Appl. Phys.*, **42**: 245502-245508.
- Creagh, L.T., Kmetz, A.R., 1972. Performance advantages of liquid crystal displays with surfactant-produced homogeneous alignment. Digest of Soc. for Information Display International Symp., *San Francisco, Calif.*, 90.
- Dixon, G. D., Brody, T. P., Hester, W. A., 1974. Alignment mechanism in twisted nematic layers. *Appl. Phys. Lett.*, **24**: 47-49.
- Guo, J.X., Kwok, H.S., 2000. High performance transmittive bistable twisted nematic liquid displays. *Jpn. J. Appl. Phys.*, **39**: 1210-1216.
- Kahn, F.J., Taylor, G.N., Schonhom, H., 1973. Surface produced alignment of liquid crystals. *Proc.IEEE*, **61**: 823-829.
- Karapınar, R., Gündüz; E., 1994. An acousto-optic modulator with a liquid crystal. *Optics Communications*, **105**: 29-32.
- Karapınar, R., Gündüz; E., 1992. Sıvı kristal displayler. YYU, Fen-Ed. Fak. Fen. B. Derg., **3**: 93-105.
- Karapınar, R., 2005. Bükümlü nematic sıvı kristaller. *Geleneksel Erzurum Fizik Günleri-II*, 25-28 Mayıs 2005. Erzurum.
- MacGregor, A.R., 1988. Modeling of the optical properties of twisted nematic guest-host liquid crystals. *J. Phys.D: Appl. Phys.*, **21**: 1438-1446.
- Needham, B., 1983. Practical limits on addressing twisted nematic displays. *Phil. Trans. R. Soc. Lond.*, **309**: 179-188.
- Sato, S., Wada, M., 1972. Molecular orientation effects in compensated liquid crystals. *Jpn. J. Appl. Phys.*, **11**: 1566-1570.
- Xie, Z. L., Kwok, H. S., 1998. New bistable twisted nematic liquid crystal displays. *Journal of Applied Physics*, **84**: 77-82.
- Uchida, T., Watanabe, H., Wada, M., 1972. Molecular arrangement of nematic liquid crystals. *Jpn. J. Appl. Phys.*, **11**: 1559-1565.
- Yang, F., Sambles, J.R., 2003. Determination of the permittivity of nematic liquid crystals in the microwave region. *Liquid crystals*, **30**: 599-602.
- Yaniv, Z., 1989. The new wave in displays. *Photonics Spectra*, April: 95-100.